## Доклады Академии наук СССР 1973. Том 209, № 4

УДК 539.472.3

## ФИЗИЧЕСКАЯ ХИМИЯ

Л. В. ПОПОВА, Г. С. МИНГАЛЕЕВ, Л. С. СУГАК, С. А. РУМЯНЦЕВ

## РАСПРЕДЕЛЕНИЕ ЭНЕРГИИ ИОНИЗИРУЮЩЕГО ИЗЛУЧЕНИЯ В ГЕТЕРОГЕННЫХ ДИСПЕРСНЫХ СИСТЕМАХ

(Представлено академиком И. В. Петряновым-Соколовым 12 VII 1972)

Для выяснения механизма радиационно-химических реакций существенным является знание распределения поглощенной энергии ионизирующего излучения между реагирующими компонентами. Распределение энергии в гомогенных реакционных системах довольно хорошо изучено как теоретически, так и экспериментально (1-5). За последние годы большое развитие получили радиационно-химические процессы в гетерогенных системах. К их числу относятся многочисленные радиационно-каталитические процессы, хемоядерные процессы, а также синтез оловоорганических соединений, в частности, синтез дибутилоловодибромида (ДБОДБ), проводимый в дисперсной взвеси частичек олова в бромистом бутиле (9, 10) и др. Между тем процессы прохождения ионизирующего излучения через гетерогенные системы изучались лишь в слоистых системах (6-8).

Механизм поглощения и переноса энергии в гетерогенных дисперсных системах ранее не исследовался. Первым шагом к такому исследованию является выяснение того, как распределяется поглощенная энергия между компонентами смеси. Обычно в практических измерениях предполагается, что в гетерогенных дисперсных системах энергия распределяется так же, как и в гомогенных растворах, т.е. пропорционально тормозным способностям компонентов (11). Как будет показано ниже, в зависимости от размера частиц твердого компонента могут быть значительные отступления от правила тормозных способностей.

С целью общей формулировки задачи, не связанной с геометрическими размерами радиационно-химического аппарата, мы рассмотрели поглощение энергии гамма-излучения и последующий перенос ее электронами в бесконечной идеально перемешиваемой гетерогенной среде, состоящей из жидкости и диспергированного в ней металла, а имению, в диспергированных в воде алюминии, меди и платине. Рассмотрена также система, в которой проводится радиационно-химический синтез ДБОДБ, состоящая из олова, диспергированного в бромистом бутиле ( $C_4H_9Br$ ). В качестве источника гамма-излучения предполагается  $Co^{60}$  ( $E_0 = 1,25$  Мэв). Размеры частиц твердой фазы рассмотрены такие, как в порошке олова, используемого для синтеза ДБОДБ ( $^{10}$ ), от  $10^{-1}$  до  $10^{-3}$  см. Весовое отношение компонентов равно 1:1.

Расчет проводился методом Монте-Карло. Для нахождения распределения энергии между компонентами гетерогенной системы необходимо знание спектра электронов, выбитых гамма-квантами. Методика нахождения энергии гамма-излучения, поглощенной в отдельных компонентах гетерогенной системы, и вычисленные спектры электронов отдачи приведены в работе одного из авторов (12). Для решения задачи о переносе энергии электронами отдачи дисперсная система была представлена некоторой моделью. Поскольку частицы твердого компонента распределены по объему реакционной смеси в среднем равномерно, частицы были представлены сферами, расположенными в узлах кубической решетки, заполненной жидкостью. При данном весовом отношении компонентов параметры такой ре-

тистки однозначно определяются диаметром частиц\*. Использовался метод «укрупненных столкновений» (13). Электронный трек разбивался на участки длиной S-kE, где, в свою очередь, k=k(E) (14). Угловые отклонения на пути S рассчитывались по Мольеру (15). Затем определялись участки трека, проходимые электроном в жидкости и в твердых частицах, и потери энергии в каждой из фаз. Эти потери определялись как непрерывные умножением величины тормозной способности dE/dx на путь, проходимый в каждой из фаз. Величины dE/dx брались из таблиц (16). Электронный трек прослеживался до энергии  $E_{\min}=0.02$  мэв. Расчеты проводились на ЭВМ. Количество историй в каждом случае равпялось 5000.

Таблица 1

Система	Диаметр частиц, см	$(E_\gamma)$ тв $/(E_\gamma)$ ж	Доля энер- гии, перено- симой из твер- дой фазы в жидкую	Кратность увели- чения энергии, поглощенной жидкостью, в ре- зультате пере- носа		Отношение тормозных способностей
	<u>'</u> 		1	1	]	<u> </u>
$Al-H_2O$	10-3	1,0	0,14	1,14	0,75	0,75
	10-2	1,0	0,11	1,1	0,8	0,75
	10-1	1,0	0	1	1	0.75
$\mathrm{Cu}$ - $\mathrm{H}_2\mathrm{O}$	10-3	1,2	0,25	1,3	0,7	0,7
	10-2	$^{1,2}$	0,17	1,2	0,8	0,70
	10-1	$^{1,2}$	0,03	1,04	1,11	0,70
$\mathrm{Pb}$ $\mathrm{C}_{2}\mathrm{H}_{9}\mathrm{Br}$	10-3	1,2	0,3	$^{1,4}_{1,3}$	$0,\underline{6}$	$^{0,6}$
	10-2	$^{1,2}$	0,25	1,3	0,7	0,6
	10-1	$^{1},^{2}$	0,08	1,1	1,01	0,6
$\mathrm{Pt}$ $\mathrm{H}_{2}\mathrm{O}$	10-3	$^{1,5}$	0,4	1,6	0,57	0,5
	10-2	1,5 1,5 1,5	0,33	1,5_	0,7	[0,5]
	10-1	$^{1,5}$	0,1	1,15	1,15	0,5

Результаты расчета сведены в табл. 1.  $(E_y)_{TB}/(E_y)_{\#}$  обозначает отношение энергии гамма-излучения, трансформированной в энергию электронов отдачи, в твердом и жидком компонентах.  $E_{\rm TB}/E_{\rm K}$  — результирующее отношение поглощенных энергий в твердом и жидком компонентах после переноса эпергии электронами отдачи. Из приведенных данных следует, что электроны существенно изменяют первичное распределение эпергии поглощенных гамма-квантов. Если гамма-излучение поглощается таким образом, что в твердом компоненте поглощается больше, либо столько же (алюминий) энергии, сколько в жидком, то в результате переноса энергии электронами отдачи это соотношение изменяется в пользу жидкого компонента. Доля энергии, персносимой из твердых частиц в жидкость, тем больше, чем больше атомный номер твердых частиц и чем меньше их диаметр. Увеличение эффективности переноса энергии из твердой фазы в жидкую для более тяжелых элементов может быть объяснено увеличением с атомным номером элемента среднего расстояния между частицами (поскольку весовое отношение остается постоянным). С увеличением расстояния между частицами переход электронов из твердых частиц в жидкость оказывается более вероятным, чем обратный переход.

Эффективность переноса энергии электронами, естественно, увеличивается с уменьшением размеров частиц твердой фазы. При днаметре частиц  $10^{-3}$  см распределение поглощенной энергии между компонентами становится пропорциональным тормозным способностям компонентов, т.е. при этих размерах эффект гетерогенности перестает сказываться. Поскольку

<sup>\*</sup> Рапее пами были проведены предварительные расчеты, основанные па рассмотрении выборочных траекторий электропа (¹¹). Вследствие грубости приближения результаты получились качественно неверные, что указало на необходимость применения к этой задаче более точных методов. Предварительное сообщение о полученных результатах см. (¹в).

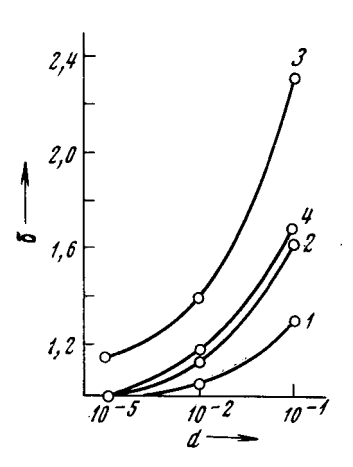
компоненты берутся в равных весовых отпошениях, тормозные способности взяты приведенными к единице веса поглощающего вещества.

На рис. 1 изображена зависимость от размеров частиц отношения энергии, поглощенной в твердой и жидкой фазах, деленного на соответствующее отношение тормозных способностей. Как видно, при уменьшении размера частиц кривые стремятся к единице тем быстрее, чем меньше Z твердого

Рис. 1. Кривые зависимости отношения энергии, поглощенной в твердой и жидкой фазах, деленного на отношение тормозных способностей твердой и жидкой фаз, от размеров частиц

$$\delta = \frac{E_{_{\mathrm{TB}}}}{E_{_{\mathrm{IK}}}} \, \left/ \, \frac{\left(dE/dx\right)_{_{\mathrm{TB}}}}{\left(dE/dx\right)_{_{\mathrm{IK}}}} \, . \right.$$

1 — алюминий — вода, 2 — медь — вода, 3 — платина — вода, 4 — олово — бромистый бутил



компонента. При увеличении размера частиц кривые поднимаются вверх тем круче, чем больше атомный номер твердого компонента.

В соответствии с результатами нашего расчета в дисперсных гетерогенных системах имеет место перенос энергии электронами отдачи из твердой фазы в жидкую. Этот перенос тем больше, чем больше атомный номер элемента твердой добавки. Твердые частицы служат как бы дополнительными источниками энергии. В результате их присутствия в реакционной смеси в целом и в жидком компоненте поглощается больше энергии, чем в жидкости без твердой добавки. Это обстоятельство должно приводить к увеличению радиационно-химического выхода в гетерогенных системах по сравнению с системами без твердого компонента.

Авторы благодарны И. Г. Каплану за плодотворные обсуждения и Б. М. Терентьеву за интерес к работе и поддержку.

Физико-химический пиститут им. Л. Я. Карпова Москва Поступило 8 VI 1972

## ПИТИРОВАННАЯ ЛИТЕРАТУРА

<sup>1</sup> А. Х. Брегер, Основы радиационно-химического аппаратостроения, М., 1967.
<sup>2</sup> А. Х. Брегер и др., ДАН, 150, 866 (1963). <sup>3</sup> Б. М. Терентьев, В. А. Эльтеков, Д. И. Голенко, Атомная эпергия, 15, 382 (1963). <sup>4</sup> Ф. А. Махлис, Тр. П координацион. совещ. по дозиметрии больших доз, Ташкент, 1966. <sup>5</sup> Ф. А. Махлис, Тр. П координацион. совещ. по дозиметрии больших доз, Ташкент, 1966. <sup>5</sup> Ф. А. Махлис, Атомная энергия, 15, 508 (1963); 17, 147 (1964). <sup>6</sup> О. П. Верхградский, И. Н. Червецова, А. М. Кабакчи, Хим. высоких энергий, 3, 444 (1969). <sup>7</sup> Г. М. Жаброва, В. Б. Казанский и др., Нефтехимия, 4, 753 (1964). <sup>8</sup> К. К. Аглинцев, Дозиметрия ионизирующих излучений, 1957. <sup>9</sup> Л. В. Абрамова, Н. И. Шевердина, К. А. Кочешков, ДАН, 124, 681 (1958). <sup>10</sup> В. Ю. Мирецкий, И. В. Верещинский, А. Ю. И ванов, Химия высоких энергий, 3, 231 (1969). <sup>11</sup> С. Я. П шежецкий, М. (механизм и кинетика радиационно-химических реакций, М., 1968; Радиационная химия, М., 1963. <sup>12</sup> Л. В. Попова, Л. Б. Чегодаева, Атомная эпергия, 32, 75 (1972). <sup>13</sup> Л. Е. Leiss, S. Реппес, С. S. Robinson. Phys. Rev., 107, 1544 (1957). <sup>14</sup> Г. С. Мипгалеев, Б. М. Терентьев, Радиационная техника, В. 5, 3 (1970). <sup>15</sup> G. Моliere, Zs. Naturforsch., 2a, 133 (1947). Бета- и гаммаспектроскопия. Под ред. К. Зигбана, М., 1959. <sup>16</sup> Т. Nelms, Tables of Energy Losses a. Ranges of Electrons a. Positrons, NASA SP-3012. <sup>17</sup> Л. В. Попова, А. Х. Брегер, В сбори. Радиационная химия, М., 1972, стр. 461. <sup>18</sup> Л. В. Попова, Тез. доки. па П Всесоюзи. симпозиуме по элементарным процессам химии высоких эпергий, М., 10016, 1971.